

# مطالعه عددی اثرات شکل لبه‌های حمله و فرار بر پدیده هواصوتی جریان حول صفحه تخت با استفاده از رویکرد شبیه‌سازی گردابه‌های بزرگ

حسین محمدی<sup>۱</sup>، مهدی رمضانی‌زاده<sup>۲\*</sup>

۱. مرکز تحصیلات تکمیلی، دانشگاه علوم و فنون هوایی شهید ستاری

۲. دانشکده مهندسی هوافضا، دانشگاه علوم و فنون هوایی شهید ستاری

## چکیده

در این تحقیق، صدای تولید شده در اثر اندرکنش‌های گردابه‌های ناشی از جریان حول سه صفحه تخت دارای هندسه‌های متفاوت در لبه‌های حمله و فرار در حالت ناپایا با استفاده از رویکرد شبیه‌سازی گردابه‌های بزرگ مورد مطالعه قرار گرفته است. اثبات درستی شبیه‌سازی سرعت بی-بعد با استفاده از مقادیر نتایج تجربی مربوطه در عدد ماخ  $0.088$  و عدد رینولذ  $4 \times 10^4$  بررسی شده که مطابقت خوبی را نشان می‌دهد. همچنین از لحاظ صوتی، چگالی طیف توان شبیه‌سازی شده با استفاده از صدای دریافتی از میکروفون‌های ای آند بی که در فاصله  $583$  میلی‌متری بالا و پایین لبه فرار صفحه قرار گرفته‌اند، تطابق خوبی را با نتایج تجربی نشان می‌دهد. براساس نتایج بدست آمده، مقادیر چگالی طیف توان صدا در صفحه‌های اول، دوم و سوم در بازه بسامدی  $200$  تا  $4000$  هرتز، به ترتیب بین  $26$  تا  $28$  و  $32$  تا  $57$  دسی‌بل می‌باشند.

**کلیدواژه‌ها:** هواصوتی، صفحه تخت، ریزش گردابه‌های لبه فرار، رویکرد شبیه‌سازی گردابه‌های بزرگ، چگالی طیف صدا.

شدت بیشتری به انرژی صدا تبدیل می‌شود (برای مثال

در نزدیکی لبه فرار بالهای مثلثی) [۱].

پراکندگی نوسانات فشار صدای تولیدشده توسط ساختار آشفته لایه مرزی روی هندسه لبه فرار، سبب تولید صدا در این ناحیه می‌شود. یکی از مطالعات اولیه روی نوافه ایجادشده در لبه فرار توسط ویلیام و هال<sup>۱</sup> بر پایه تناسب کلاسیک لایتهیل<sup>۲</sup>، گزارش شده است. آن‌ها گردابه‌های آشفته عبوری از لبه‌های تیز لبه فرار یک بالواره را مورد تجزیه و تحلیل قرار دادند [۲].

دولان و همکارانش در سال  $2011$ ، صدای ناشی از لبه فرار تیز صفحه تخت را که ناشی از ریزش گردابه‌ها به ناحیه دنباله می‌باشد، در محدوده عدد رینولذ پایین تا متوسط مورد بررسی قرار دادند [۳].

ونگ و همکارانش در سال  $2009$ ، با استفاده از رویکرد شبیه‌سازی گردابه‌های بزرگ<sup>۳</sup>، نوسانات فشار دیواره و صدای تولیدشده توسط جریان حول یک بالواره

## ۱. مقدمه

نوافه ناشی از لبه فرار که از جدایش لایه مرزی در لبه‌های تیز حاصل می‌شود، به‌دلیل کاربرد فراوان، از گذشته تا حال، بسیار مورد توجه قرار گرفته است. بیش‌تر مطالعات انجام گرفته در گذشته روی کاربری‌های با عدد رینولذ بالا مانند هوایپیماهای تجاری، توربوماشین‌ها و توربین‌های بادی تمرکز داشته‌اند. صدای به وجود آمده توسط آیرودینامیک جریان روی اجسام مختلف ناشی از دو پدیده اساسی مختلف می‌باشد. اولین مورد، صدای ضربه‌ای است که با حرکت صفحه به وجود می‌آید. جایه‌جایی جسم درون سیال و بارگذاری‌های آیرودینامیکی نایابیدار روی سطح جسم سبب تولید نوسانات فشاری شده که مانند صدا منتشر می‌شوند. سازوکار صدای دوم در نتیجه تلاطم می‌باشد و در نزدیکی هر جسم که در جریان آشفته قرار دارد به وجود می‌آید. تلاطم، به‌دلیل طبیعت اتفاقی بودنش طیف بسیار وسیعی (پهن) دارد. انرژی تلاطم، به‌طور قابل توجهی در نزدیکی لبه‌های تیز نسبت به جاهای دیگر، با

<sup>1</sup> William and Hall

<sup>2</sup> Lighthill

<sup>3</sup> LES; Large Eddy Simulation

\* نویسنده پاسخگو: ramezanizadeh@ssau.ac.ir

افزایش زاویه حمله سبب می‌شود که منطقه جداشده جریان و مکان منبع صدای ریتمیک در طول لبه فرار بالواره به منطقه پایان- آزاد<sup>۷</sup> منتقل شود. علاوه بر این، ایشان اذعان داشتند که با کاهش نسبت منظری بالواره، تولید صدای ریتمیک در عدد رینولدز پایین‌تر و زاویه حمله بالاتر اتفاق می‌افتد [۷].

دقیقاً بعد از لبه حمله گردشده، در جریان پایین‌دست ناحیه‌ای به وجود می‌آید که دارای انرژی جنبشی آشفته بسیار بالایی می‌باشد. لبه حمله گرد، سبب جدایش جریان شده و در ادامه، جریان به صورت حبابی و آرام از سطح جدا می‌شود. اتصال دوباره جریان به جسم، بعد از این حباب جدایش کاملاً نایابیدار بوده و سبب تولید تلاطم فراوانی در جریان می‌شود. اتصال دوباره جریان به جسم در پایین‌دست، توسعه لایه مرزی آشفته را به دنبال دارد [۸]. در این تحقیق، ابتدا فیزیک جریان حول صفحات تخت با استفاده از روی کرد شبیه‌سازی گردابه‌های بزرگ شبیه‌سازی شده و سپس با درنظر گرفتن میکروفون‌هایی در پشت لبه فرار صفحه‌ها، میزان توان و طیف انتشار امواج با استفاده از نظریه کرل و الگوی ولیام- هاوکینگز<sup>۸</sup> مورد مطالعه قرار می‌گیرد. تمامی شبیه‌سازی‌ها توسط بسته نرم‌افزاری فلوئنت<sup>۹</sup> نسخه ۱۵ انجام گرفته‌اند.

## ۲. معادلات حاکم

به منظور شبیه‌سازی صدای ناشی از انفجار گردابه‌ها که در آن سرعت جریان در هسته گردابه، به صفر نزدیک می‌شود و فشار جریان بسیار بالا می‌رود، روی کرد شبیه‌سازی گردابه‌های بزرگ تاثیر ارتعاشات به وجود آمده توسط گردابه‌های روزی بال را بر ضریب فشار دیوار به خوبی نشان می‌دهد. روی کرد مذکور این نکته را بیان می‌کند که گردابه‌ها، مرکز نیروهای آبرودینامیکی را به سمت لبه حمله متمایل می‌کنند. شبیه‌سازی گردابه‌های بزرگ معادلات ناویر- استوکس، روی کردی است که خواص متوسط جریان‌های آشفته با پیچیدگی متوسط را بسیار خوب تخمین می‌زند [۹].

<sup>7</sup> Free-End

<sup>8</sup> William and Hawkins

<sup>9</sup> Fluent

خمیده را که توسط راجر و همکارانش [۴] در سال ۲۰۰۴ مورد مطالعه قرار گرفته بود، در عدد رینولدز بر پایه وتر  $1/5 \times 10^5$  بررسی کردند [۵].

التاویل و همکارش در سال ۲۰۱۱، با استفاده از روی کرد نایابی‌ای میان گیری رینولدز<sup>۱</sup> معادلات ناویر- استوکس و شبیه‌سازی گردابه‌های بزرگ، گردابه‌های منتشر شده از لبه فرار بالواره‌ای را مورد بررسی قرار دادند. ایشان در ابتدا طرز تشکیل و میزان توان گردابه‌ها را شبیه‌سازی کردند، سپس، نتایج حاصل از آن را به منظور بررسی انتشار امواج در معادله لایتهیل (که حل عددی با استفاده از روش عنصر محدود<sup>۲</sup> می‌باشد)، قرار دادند. آن‌ها به این نتیجه رسیدند که صدای تولیدشده از لبه حمله بالواره در بسیامدهای پایین را می‌توان با نووفه تولیدشده از لبه فرار در بسیامدهای بالا قیاس کرد. نتایج به دست آمده توسط ایشان با نتایج تجربی منطبق می‌باشد. ضمناً، بر این نکته تأکید داشتند که با استفاده از روش دوگانه (هیبریدی<sup>۳</sup>) به نتایج دقیق‌تری در رابطه با نوع انتشار و محل تشکیل هسته گردابه<sup>۴</sup> که محل تولید صدا می‌باشد، می‌توان رسید [۶].

مورو و دولان در سال ۲۰۱۵، صدای ناشی از لبه فرار گردشده بالواره را به طور تجربی مورد آزمایش قرار دادند. نسبت منظری بالواره مورد آزمایش را از ۱ تا ۳ محدوده عدد رینولدز بر پایه وتر ( $1/6 \times 10^5$  تا  $7/9 \times 10^5$ ) و زاویه حمله صفر تا ۶ درجه تغییر دادند. ایشان به این نتیجه رسیدند که در این محدوده عدد رینولدز، بالواره مذکور صدای پهن‌باند را همراه با تعدادی صدای ریتمیک<sup>۵</sup> به صورت گسسته در زوایای حمله غیر صفر تولید می‌کند. هم‌چنین، داده‌های طیف صدای مربوط به جریان گردابی سه‌بعدی در نزدیکی نوک بالواره<sup>۶</sup> را به منظور بررسی سهم این دو قسمت از بالواره در تولید صدا به دست آوردند. تولید صدای ریتمیک به دلیل حضور حالت جریان گذرا در لبه فرار، و همراهی ناحیه نیمه جداشده جریان روی سطح فشار بالواره می‌باشد. میدان جریان در قسمت نوک با

<sup>1</sup> RANS; Reynolds-Averaged Navier-Stokes

<sup>2</sup> Finite element

<sup>3</sup> Hybrid

<sup>4</sup> Vortex core

<sup>5</sup> Rythmical

<sup>6</sup> Airfoil tip

مقیاس زیر شبکه‌ای<sup>۱</sup> را به نرخ کرنش میدان سرعت حل نشدنی  $\bar{z}_{ij}$  مرتبط می‌سازد [۱۰، ۱۲]. با فرض تعادل، رابطه‌ای برای  $v_t$  به صورت زیر حاصل می‌شود:

$$v_t = (C_s \Delta)^{1/2} |\bar{S}| \quad (5)$$

که در آن،  $C_s$  ضریب اسماقورینسکی،  $2(\bar{S}_{ij} \bar{S}_{ij})^{1/2}$  و  $\Delta$  پهنای صافی می‌باشد. پهنای صافی برابر با اندازه شبکه در نظر گرفته شده و به صورت زیر تعریف می‌شود:

$$\Delta = (\Delta_x \Delta_y \Delta_z)^{1/3} = (\Delta V_{ijk})^{1/3} \quad (6)$$

در معادلات اصلی ناویر-استوکس،  $\bar{u}_i$  به جای  $u_i$ ،  $\bar{P}$  به جای  $P$  و  $\bar{v}_t$  به جای  $v_t$  قرار گیرند [۱۰]. از آن جا که نوسانات تلاطم مقیاس‌های زیر شبکه‌ای در نزدیکی دیواره به سمت صفر میل می‌کند، لذا لزجت گردا بهای  $v_t$  نیز باید به سمت صفر میل نماید. برای این منظور،تابع استهلاک  $f_\mu$  به شکل معادله ذیل در نظر گرفته شده است:

$$f_\mu = 1 - e^{\left( \frac{-y^+}{2\epsilon} \right)} \quad (7)$$

برای اعمال تابع استهلاک مذکور در لزجت گردا بهای، به جای ضریب  $C_s$  در رابطه ۵، از ضریب  $C_s f_\mu$  استفاده می‌شود. برای شبیه‌سازی صدا، قیاس صوتی فوکس ویلیامز و هاوکینگز<sup>۴</sup> [۱۳] به کارگیری شده‌اند. با توجه به بسط لوکارد<sup>۵</sup> رابطه صوتی مذکور در بالا به صورت زیر نوشته می‌شود:

$$[p'H(f)] = - \int_{f=0}^{\infty} \left[ i\omega Q'(\vec{y}) G_c(\vec{x}, \vec{y}) + F_l(\vec{y}) \frac{\partial G_c(\vec{x}, \vec{y})}{\partial y_i} \right] dS - \int_{f>0} T_{ij} H(f) \frac{\partial^2 G_c(\vec{x}, \vec{y})}{\partial y_i \partial y_j} dV \quad (8)$$

که در آن،  $\omega$  بسامد زاویه‌ای،  $f = 0$  سطح FWH و  $H(f) = 0$  تابع هویسايد<sup>۶</sup> می‌باشد. برای  $f > 0$ ،  $H(f) = 1$  و برای  $f < 0$ ،  $H(f) = 0$  است که به صورت زیر تعریف می‌شود:

$$F_l = \left[ p\delta_{ij} - \tau_{ij} + \rho(u_i + U_i)(u_j + U_j) \rho_\infty U_i U_j \right] \frac{\partial f}{\partial x_j} \quad (9)$$

$$Q = \left[ \rho(u_i + U_i) - \rho_\infty U_i \right] \frac{\partial f}{\partial x_i} \quad (10)$$

<sup>4</sup> FWH; Ffowcs Williams and Hawkings

<sup>5</sup> Lockard

<sup>6</sup> Heaviside function

در این روی کرد، تنها باید به حل مستقیم گردا بهای پرداخت که به اندازه کافی بزرگ بوده و حامل اطلاعاتی درباره هندسه و دینامیک مسئله مورد نظر باشند. با توجه به نظریه کولموگروف<sup>۱</sup>، تمام ساختارهای دارای مقیاس کوچک عمومی فرض می‌شوند. این ساختارها با مقیاس زیر شبکه‌ای<sup>۲</sup> عمومی، بیانگر اثرات مقیاس‌های کوچک مستقیماً حل نشده روی مقیاس‌های مستقیماً حل شده هستند و باید الگو شوند [۱۰]. در واقع در هر جریان آشفته، اندازه بزرگترین مقیاس‌های طولی در حدود ابعاد دامنه حل بوده و کوچکترین آن‌ها به گردا بهای در حال نابود شدن مربوط هستند که در آن‌ها اثرات لزجت غالب می‌باشد [۱۱].

در روی کرد شبیه‌سازی گردا بهای بزرگ معادلات ناویر-استوکس برای گردا بهای حل می‌شوند که بزرگتر از ابعاد شبکه هستند و اثر مقیاس‌های زیر شبکه‌ای الگو می‌شود. مقیاس‌های کوچک رفتار کم و بیش عمومی از خود نشان داده و بر مقیاس‌های بزرگ تاثیر می‌گذارند که این دو مقیاس توسط صافی از هم جدا می‌شوند [۱۲].

$$\frac{\partial \bar{u}_i}{\partial x_i} = . \quad (1)$$

$$\frac{\partial \bar{u}_i}{\partial t} + \frac{\partial (\bar{u}_i \bar{u}_j)}{\partial x_i} = - \left( \frac{\partial \bar{p}}{\partial x_i} \right) + \frac{1}{Re} \frac{\partial}{\partial x_j} (\bar{\sigma}_{ij} - \bar{\tau}_{ij}) \quad (2)$$

معادلات مذکور، معروف به ناویر-استوکس هستند که در آن خط روی پارامترها بیان گر کمیت‌های حل شدنی یا به عبارتی مقیاس‌های بزرگ می‌باشد:

$$\bar{\sigma}_{ij} = (2\mu S_{ij}) \quad (3)$$

$$\bar{\tau}_{ij} = (\bar{u}_i \bar{u}_j - \bar{u}_i \bar{u}_j) \quad (4)$$

که در آن،  $\bar{u}_i$  و  $\bar{u}_j$  بیان گر متوسط زمانی مولفه‌های سرعت و  $S_{ij}$  تانسور تنش زیر شبکه‌ای می‌باشد که باید الگو شود. اولین الگویی که در این زمینه ارائه شده، الگوی اسماقورینسکی<sup>۳</sup> است که هنوز به طور گسترده‌ای مورد استفاده قرار می‌گیرد. همانند بیشتر الگوهای مقیاس زیر شبکه‌ای موجود، این الگو نیز از مفهوم لزجت گردا بهای استفاده می‌کند که بخش بی‌اثر (کروی) تانسورهای

<sup>1</sup> Kolmogorov

<sup>2</sup> SGS; SubGrid Scale

<sup>3</sup> Smagorinsky

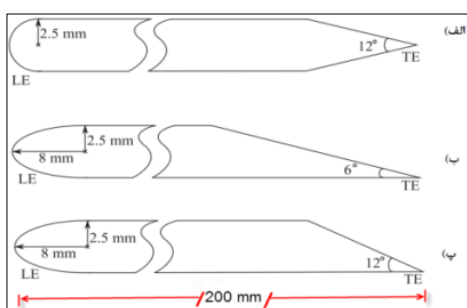
با اضافه کردن جمله  $\frac{\partial^r p}{\partial t^r} c^r$  به هر دو طرف معادله ۱۳ و با استفاده از  $(P_i - P_j) = \rho \delta_{ij}$  می‌توان این معادله را به صورت زیر نوشت:

$$\frac{\partial^r p}{\partial t^r} = \frac{\partial^r}{\partial x_i \partial x_j} (P_{ij} + \rho v_i v_j) - \frac{\partial f_i}{\partial x_i}. \quad (14)$$

که در آن  $p' = p - p_0$  است. معادله اخیر به قیاس صوتی لایتهیل<sup>۳</sup> معروف می‌باشد.

### ۳. روش حل عددی

همان‌طور که در شکل ۱ مشاهده می‌شود، سه صفحه تخت با طول وتر ۲۰۰، دهانه ۴۵۰ و قطر ۵ میلی‌متر با هندسه‌های مختلف در نظر گرفته شده‌اند. صفحه اول با لبه حمله گرد و لبه فرار تیز متقاضی با شیب ۱۲ درجه؛ صفحه دوم با لبه حمله بیضی‌شکل و لبه فرار تیز نامتقاضی با شیب ۶ درجه؛ و صفحه سوم با لبه حمله بیضی‌شکل و لبه فرار تیز نامتقاضی با شیب ۱۲ درجه در سرعت جریان آزاد ۳۰ متر بر ثانیه (عدد رینولدز  $4 \times 10^5$ ) و عدد ماخ  $0.088$  مورد مطالعه قرار می‌گیرد. سپس نتایج به دست آمده با نتایج تجربی مورو و دولان [۱۵] مقایسه می‌شود.



شکل ۱ هندسه سه صفحه تخت مورد مطالعه در این تحقیق [۱۵].

در حل تجربی مذکور، از تونل بادی استفاده شده که در قسمت انتهایی آن جریان به صورت جت آزاد حول لبه فرار جریان دارد که در شکل ۲ قبل مشاهده می‌باشد. برای سرعت جریان آزاد ۱۵ متر بر ثانیه در دهانه ورودی تونل باد، سرعت جریان آزاد به ۳۰ متر بر ثانیه در ناحیه لبه فرار می‌رسد. بر این اساس، در حل عددی، سرعت ورودی جریان آزاد ۳۰ متر بر ثانیه در نظر گرفته شده است [۱۵].

<sup>۳</sup> Lighthill Analogy

$$T_{ij} = \rho u_i u_j + (P' - C_\infty^r \rho') \delta_{ij} - \tau_{ij} \quad (11)$$

جمله‌های  $F_i$ ,  $P'$ ,  $\hat{Q}$  و  $T_{ij}$  به ترتیب بیانگر دوقطبی، تک قطبی، فشار صوتی دامنه بسامد و چهارقطبی می‌باشد. در اینجا  $u_i$  نشان‌دهنده بردار سرعت سیال،  $p$  فشار،  $C_\infty^r$  چگالی جریان آزاد،  $\rho'$  فشار صدا،  $\delta_{ij}$  دلتای کرونیکر و  $\tau_{ij}$  تانسور تنش لزجت می‌باشد که به دلیل اثرات ناچیزش در روابط فوکس ویلیام هاوکینگ صرف نظر شده و مستند به نتایج مرجع [۱۴] می‌باشد. لازم به ذکر است که معادلات کلی جریان (معادلات الاین اس) به صورت کامل حل شده و عبارت لزجت در آن جا لحاظ شده است. اگر سرعت جریان متوسطی در جهت مختصاتی درنظر گرفته شود، تابع سه‌بعدی گرین که ترکیبی از تاثیرات انتقالی جریان می‌باشد به صورت رابطه ۱۲ بیان می‌شود:

$$G_c(\tilde{x}, \tilde{y}) = -\frac{e^{-ik\sqrt{(x_1 - y_1)^2 + (-M^r)^2}} \left[ (x_r - y_r)^2 + (x_r - y_r)^2 \right] - M(x_r - y_r)}{4\pi\sqrt{(x_r - y_r)^2 + (x_r - y_r)^2}}. \quad (12)$$

در رابطه ۱۲،  $k$  شماره موج،  $M$  عدد ماخ جریان آزاد به صورت  $\vec{x} = (x_1, x_2, x_3)^t$ ,  $M \equiv U_1/C_\infty$  محل قرارگیری

بیننده و  $\vec{y} = (y_1, y_2, y_3)^t$  مکان منبع می‌باشد [۱۴].

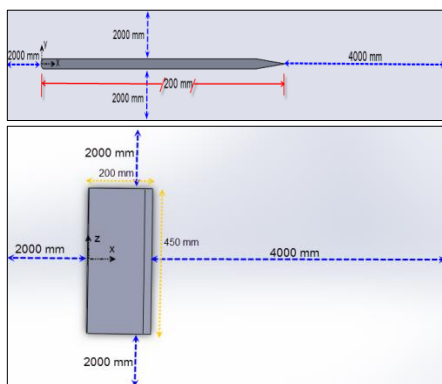
فرض بر این است که، منابع صدا سبب ایجاد نوسانات خطی از مرجع حالت سیال سکون می‌شوند. لایتهیل روی کرد مذکور را به صورت ناحیه‌ای از منبعی اختیاری که توسط سیال ساکن احاطه شده، تعمیم داد. در نتیجه، نمی‌توان فرض نمود ناحیه‌ای که منبع صدا در آن جا قرار دارد، نوسانات خطی از حالت مرجع باشد. هم‌چنان، فرض می‌شود که شنونده توسط سیال ساکن مرجع احاطه شده و در آن نوسانات صوتی کوچک به‌طور دقیق توسط معادله موج خطی همگن بیان شده‌اند. با درنظر گرفتن مشتق زمان در قانون بقای جرم و کاستن واگرایی<sup>۱</sup> از معادله میل<sup>۲</sup> خواهیم داشت [۱۴-۱۳]:

$$\begin{aligned} \frac{1}{C^r} \frac{\partial^r p'}{\partial t^r} - \frac{\partial^r p'}{\partial x_i^r} &= \frac{\partial^r}{\partial x_i \partial x_j} (\rho v_i v_j - \sigma_{ij}) \\ - \frac{\partial f_i}{\partial x_i} + \frac{\partial^r}{\partial t^r} \left( \frac{p'}{C^r} - p' \right) & \end{aligned} \quad (13)$$

<sup>1</sup> Divergence

<sup>2</sup> Momentum

وتر در جلو و بهمین اندازه برای بعد سوم، درنظر گرفته شده است، که در شکل ۳ برای صفحه اول قابل مشاهده می‌باشد. طول وتر صفحات تخت مورد مطالعه برابر با ۲۰۰ میلی‌متر می‌باشد لذا محدوده محاسباتی در جلو، بالا و پایین بال‌ها، برابر با ۲۰۰۰ میلی‌متر و در پشت بال‌ها به دلیل ایجاد گردابه‌ها در ناحیه دنباله، برابر با ۴۰۰۰ میلی‌متر اتخاذ شده‌اند.

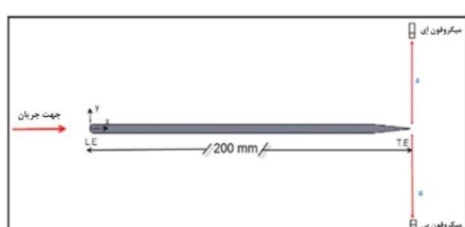


شکل ۳ مشخصات و دامنه‌ی محاسباتی صفحه تخت اول در این تحقیق.

قابل ذکر می‌باشد که محدوده محاسباتی مورد استفاده برای صفحات دوم و سوم نیز به همان کیفیت و کمیت محدوده استفاده شده برای صفحه اول است. در جدول ۱ و شکل ۴، موقعیت قرارگیری میکروفون‌ها با توجه به مرکز مختصات صفحه تخت اول ارائه شده‌اند. مکان قرارگیری میکروفون باید در جایی باشد که تنها امواج صوتی وجود داشته باشند، به عبارت دیگر، در نزدیکی میدان هیدرودینامیکی نباشد (میدان دور) [۱۶].

جدول ۱ اطلاعات مربوط به محل قرارگیری میکروفون‌ها.

z/c	y/c	x/c	نام
۰	۲/۹۱۵	۱	میکروفون ای
۰	-۲/۹۱۵	۱	میکروفون بی



شکل ۴ محل قرارگیری میکروفون‌ها.



شکل ۲ نحوه قرارگیری صفحه تخت در تونل باد [۱۵].

فیزیک جریان شامل سرعت متوسط و مجذور مربعات میانگین سرعت در جهت x در  $x/c = 1,00\frac{3}{5}$  (۰,۷ میلی‌متر پشت لبه فرار) حول هر سه صفحه‌ی مذکور مورد مطالعه قرار گرفته است. در این راستا، ضمن استفاده از روی کرد شبیه‌سازی گردابه‌های بزرگ با الگوی زیرشبکه‌ای اسماگورینسکی-لیلی با ضریب اسماگورینسکی  $15,0$ ، گسته‌سازی مکانی مرتبه ۲ و گسته‌سازی زمانی مرتبه ۴ رانگ کوتا انجام شده است. فشار محیط معادل فشار جوی درنظر گرفته می‌شود و برای حل معادلات جریان و فشار، از الگوریتم سیمپل<sup>۱</sup> غیردائم استفاده شده است. ضمناً گام زمانی  $0,1$  ثانیه می‌باشد. با توجه به ابعاد محدوده محاسباتی و سرعت جریان آزاد، زمان  $0,1$  ثانیه برای بررسی گردابه‌های تشکیل یافته بر روی سطح صفحات و ناحیه دنباله، مناسب است. تعداد تکرار در هر گام زمانی  $20$  مرتبه می‌باشد. لازم به ذکر است که تمامی پردازش‌های انجام شده ابتدا به صورت ناپایا انجام می‌شود. پس از هم‌گرایی حل نیز، شبیه‌سازی عددی جریان به مدت  $15$  ثانیه انجام می‌گیرد.

به منظور دستیابی به اطلاعات هواشنوی جریان در فواصل دور از پشت صفحات تخت، و همچنین تأکید بر درستی شرط مرزی انتخاب شده در مرز خروجی، دامنه حل به صورت  $20$  برابر وتر صفحه تخت در پشت الگو،  $10$  برابر

<sup>۱</sup> SIMPLE; Semi-Implicit Method for Pressure Linked Equations

به دلیل اثرات ناشی از گردابه‌های کوچک درون لایه مرزی بر روی مسائل صوتی، در تمامی شبکه‌های مورد مطالعه از شبکه‌های لایه مرزی روی سطح استفاده شده است. ضمناً مقدار<sup>۱</sup>  $y$  برای شبکه بهینه انتخاب شده در صفحه تخت اول، برابر با ۴۷ می‌باشد. به عنوان نمونه، جزئیات شبکه مورد محاسبه برای صفحه تخت اول به گونه‌ای است که تعداد عناصرها برابر با ۱۹۰۲۸۸۰، گره‌ها برابر با ۳۸۰۵۷۶، تعداد وجوده<sup>۲</sup> برابر با ۳۶۱۵۴۷۲، عدد اسکیونس<sup>۳</sup> برابر با ۰/۵ و نسبت منظری<sup>۴</sup> برابر با ۱/۳ می‌باشد. هم‌چنین، حداکثر و حداقل ابعاد شبکه<sup>۵</sup> برابر با ۰/۸۷ و ۰/۰۰۲ (ب) بعد شده براساس وتر) است.

مطالعه عدم واپستگی حل به شبکه محاسباتی<sup>۶</sup> حول صفحه اول در جدول ۲ در مقطع  $y/c = -0/02$  آورده شده است. همان‌طور که مشخص می‌باشد، نتایج حاصل از شبکه‌بندی با تعداد عنصر، ۱۹۰۲۸۸۰ با نتایج حاصل از شبکه‌بندی با تعداد عنصر ۳۳۵۰۶۶۲ تقریباً دارای مقادیر یکسان در نیم‌رخ سرعت بی‌بعد شده می‌باشد. لذا شبکه‌بندی با تعداد عنصر ۱۹۰۲۸۸۰ برای حل جریان حول صفحات تخت مذکور، مورد استفاده قرار گرفته‌اند.

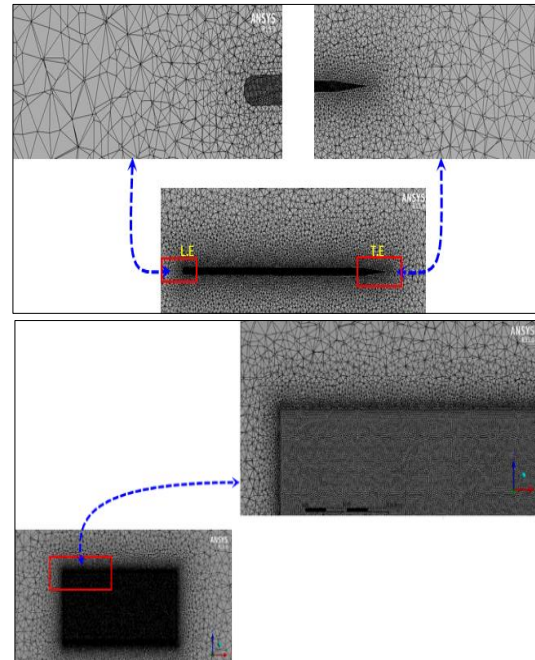
جدول ۲ مطالعه عدم واپستگی حل به شبکه عددی در صفحه اول.

$U/U_\infty$	$y/c$	تعداد عنصر	روی کرد
۰/۸۳۸	-۰/۰۲	-	[۱۲] تجربی
۰/۹۴۲	-۰/۰۲	-	[۱۲] تحلیلی
۰/۶۰۲	-۰/۰۲	۳۸۳۴۴۲	تحقيق حاضر شبکه ۱
۰/۷۳۷	-۰/۰۲	۷۸۹۱۲۱	تحقيق حاضر شبکه ۲
۰/۸۴۰	-۰/۰۲	۱۹۰۲۸۸۰	تحقيق حاضر شبکه ۳
۰/۸۴۱	-۰/۰۲	۳۳۵۰۶۶۲	تحقيق حاضر شبکه ۴

#### ۴. میانگین سرعت در لبه فرار

نیم‌رخ سرعت متوسط ( $U/U_\infty$ ) در نزدیکی دنباله<sup>۷</sup> ۰/۷ میلی متر پایین‌تر از لبه فرار) برای هر سه صفحه تخت در سرعت جریان آزاد ۳۰ متر بر ثانیه (عدد رینولدز<sup>۸</sup>  $4 \times 10^6$ )،

به منظور انتخاب شبکه محاسباتی مناسب که در آن خطاهای عددی به حداقل برسد، و از طرف دیگر هزینه محاسبات بهینه شود، شبکه‌های مختلفی با تعداد گره‌های متفاوت برای این مسئله مورد بررسی قرار گرفته‌اند. به عنوان نمونه در صفحه اول، چهار شبکه مختلف با تعداد عنصرهای مختلفی از جمله ۳۸۹۱۲۱، ۳۸۳۴۴۲، ۳۳۵۰۶۶۲ و ۱۹۰۲۸۸۰ عنصر، مورد مطالعه قرار گرفته‌اند. در این راستا، مشاهده شد که حل سومین شبکه به حل تجربی نزدیک می‌باشد، لذا نیازی به حل با تعداد عنصرهای بیشتر نیست. در نهایت، شبکه‌ای با ۱۸۹۹۶۵۶، ۱۹۰۲۸۸۰ و ۱۸۹۹۳۳۲ عنصر به ترتیب برای صفحه تخت اول، دوم و سوم به صورت تتراهدرون<sup>۹</sup> (که با نزدیک شدن به سطوح صفحه‌ها، ریزتر می‌شود)، به عنوان شبکه‌های بهینه مد نظر قرار گرفته است. به عنوان نمونه شبکه مورد استفاده در اطراف صفحه اول، در شکل ۵، قابل مشاهده می‌باشد. علاوه بر این، در کلیه شبکه‌های مورد مطالعه، از شبکه‌های لایه مرزی روی سطح استفاده شده است.



شکل ۵ شبکه‌بندی استفاده شده حول صفحه تخت اول.

<sup>2</sup> Face

<sup>3</sup> Skewness

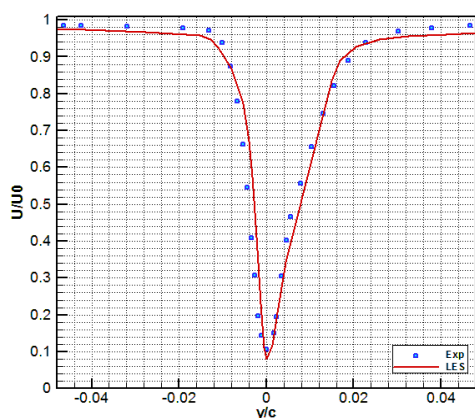
<sup>4</sup> Aspect Ratio

<sup>5</sup> Max and Min Size of the Mesh

<sup>6</sup> Grid Resolution

<sup>7</sup> Tetrahedron

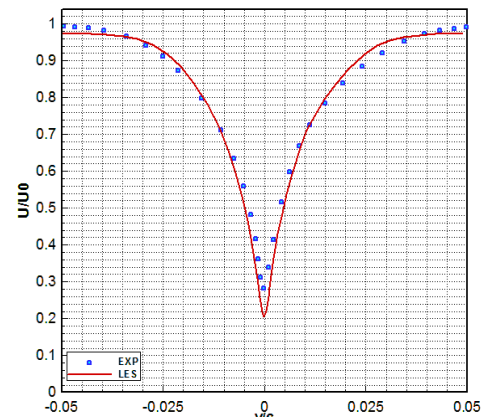
همان‌طور که در شکل ۱ مشخص است، صفحه اول دارای لبه حمله دایروی است، در حالی که شکل لبه حمله صفحات دوم و سوم بیضوی می‌باشد. احتمالاً جدایش جریان درست بعد از لبه حمله در صفحه تحت اول اتفاق می‌افتد. لایه برشی آرام جدا شده، و کاملاً ناپایدار می‌باشد به‌گونه‌ای که ناحیه انتقال به رژیم جریان آشفته را بسیار سریع‌تر از لایه مرزی آرام متصل به سطح صفحه، انجام می‌دهد و به طور معمول در وضعیت آشفته دوباره به صفحه متصل می‌شود. بنابراین لبه حمله دایروی نقش بسزایی را در تشکیل نوع لایه مرزی روی سطح صفحه ایفا می‌کند.



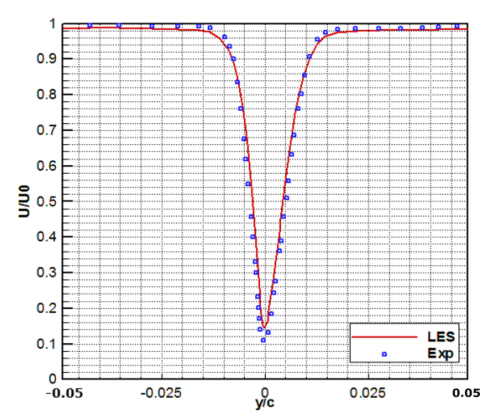
شکل ۸ نیمرخ سرعت متوسط بی‌بعد شده در نزدیکی لبه فرار صفحه سوم در جهت عمود، در مقطع  $x/c = 1,00\cdot ۳۵$  برای  $U_\infty = ۳۰ \text{ m/s}$  و  $(Re = ۴ \times 10^5)$ .

نیمرخ سرعت متوسط در لبه فرار صفحه سوم، کاملاً نامتقارن است. در سطح پایینی لبه فرار، جریان درون لایه مرزی آرام می‌باشد. برای این صفحه، نیمرخ‌های سرعت بیان‌گر این مطلب هستند که سرعت متوسط جریان در سطح مورب بالایی لبه فرار صفحه تحت، آشفته‌تر از جریان در سطح صاف زیرین صفحه است. شیب تندر ۱۲ درجه‌ای در لبه فرار این صفحه تحت، سبب بوجود آمدن ناگهانی گردایان فشار معکوس شده و به تغییرات سریع در سرعت جریان آشفته لبه فرار کمک می‌کند. در نتیجه، صفحه تحت سوم دارای دو نوع لایه مرزی مختلف در هر دو سرعت جریان در سطح بالایی و پایینی می‌باشد، به‌طوری که لایه مرزی در سطح زیرین صفحه آرام و در سطح مورب بالایی به صورت گذرا است. هم‌چنین، می‌توان

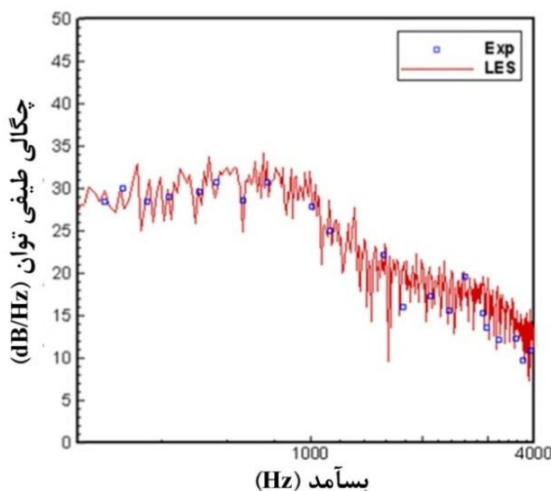
با نتایج تجربی توسط دولان و همکارانش در شکل‌های ۷ و ۸ آورده شده است؛ که تطابق خوبی بین نتایج بدست آمده و نتایج تجربی مشاهده می‌شود. نیمرخ سرعت متوسط برای صفحه اول، همان‌طور که از شکل ۶ مشخص است، حول لبه فرار بسیار متقارن می‌باشد. نیمرخ سرعت برای دو صفحه دوم و سوم کاملاً نامتقارن است. هم‌چنین، شدت تلاطم جریان آزاد  $0\cdot ۳$  درصد می‌باشد. نیمرخ سرعت متوسط بیان‌گر تلاطم جریان در لبه فرار صفحه اول، است. وضعیت جریان آشفته در لبه فرار صفحه اول، به‌شدت تحت تاثیر شکل لبه حمله می‌باشد؛ چون هندسه لبه حمله جسم، تاثیر زیادی بر رشد اولیه لایه مرزی دارد که در نتیجه جریان حول کل سطح صفحه تحت را تحت تاثیر قرار می‌دهد.



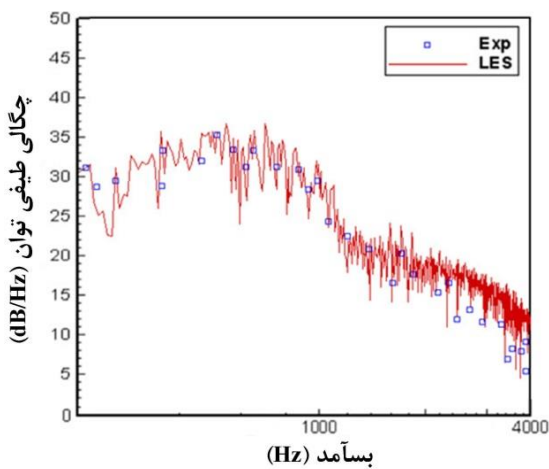
شکل ۶ نیمرخ سرعت متوسط بی‌بعد شده در نزدیکی لبه فرار صفحه اول در جهت عمود، در مقطع  $x/c = 1,00\cdot ۳۵$  برای  $U_\infty = ۳۰ \text{ m/s}$  و  $(Re = ۴ \times 10^5)$ .



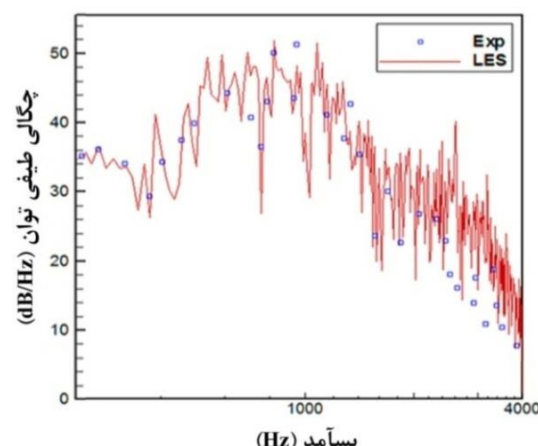
شکل ۷ نیمرخ سرعت متوسط بی‌بعد شده در نزدیکی لبه فرار صفحه دوم در جهت عمود، در مقطع  $x/c = 1,00\cdot ۳۵$  برای  $U_\infty = ۳۰ \text{ m/s}$  و  $(Re = ۴ \times 10^5)$ .



شکل ۹ چگالی طیف توان گرفته شده میکروفون ای برای صفحه اول.



شکل ۱۰ چگالی طیف توان گرفته شده میکروفون ای برای صفحه دوم.



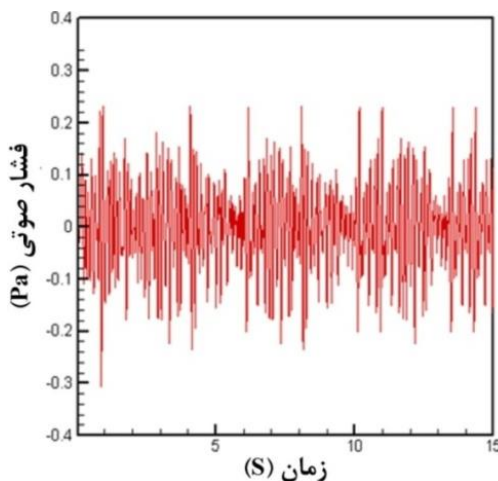
شکل ۱۱ چگالی طیف توان گرفته شده میکروفون ای برای صفحه سوم.

از داده‌های به دست آمده برای سرعت متوسط استفاده کرد.

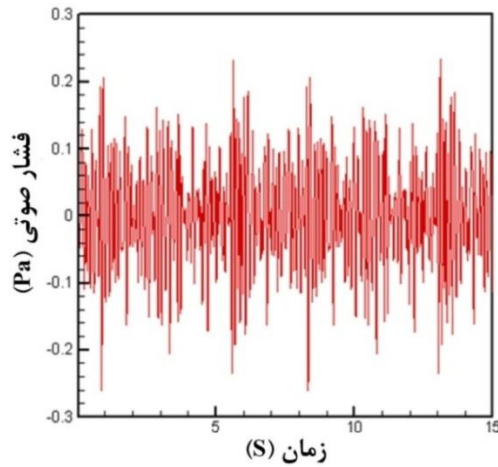
توصیفی کلی برای جریان متوسط در صفحات دوم و سوم را می‌توان چنین بیان نمود که در سرعت ۳۰ متر بر ثانیه، داده‌های به دست آمده در ناحیه‌ی دنباله صفحه دوم، بیان‌گر عدم وقوع جدایش جریان روی سطح بالایی می‌باشد. گردایان فشار معکوس نیز باعث ضخیم‌تر شدن لایه مرزی (در قیاس با لایه مرزی در سطح پائینی صفحه تخت) می‌شود. گسترش ناحیه جدایش در صفحه تخت سوم نسبت به دو صفحه تخت دیگر، به دلیل گردایان فشار معکوس قوی‌تر و به تعویق افتادن مکان اتصال دوباره جریان، بزرگ‌تر است. سطح نوسانی انرژی روی سطوح مورب بالایی صفحات تخت دوم و سوم نیز بیشتر از مقدارش در لایه‌های مرزی آشفته صفحه تخت اول می‌باشد. نیم‌رخ سرعت متوسط بیان‌گر این مطلب است که ناحیه دنباله کاملاً نامتقارن بوده و ضخامت این نیم‌رخ‌ها روی سطح بالایی لبه فرار نسبت به سطح پائینی لبه فرار ضخیم‌تر می‌باشد که با نتایج تجربی مطابقت دارد.

## ۵. رفتار هواشنوتوی جریان

به منظور بررسی رفتار هواشنوتوی جریان، پارامترهای مختلفی از جمله: طیف‌های مختلف چگالی توان صدا، فشار صدا و بس‌آمد مورد مطالعه قرار گرفته‌اند. با توجه به شکل‌های ۱۰، ۹ و ۱۱، در سرعت جریان آزاد ۳۰ متر بر ثانیه، در بس‌آمد کمتر از ۱۵۰۰ هرتز، نوّفه ساطع شده در لبه فرار صفحه‌های تخت با نتایج تجربی تطابق خوبی دارد. ضمناً در این بازه بس‌آمدی، صدای ساطع شده توسط صفحه سوم، دارای توان خیلی بیشتری نسبت به دو صفحه دیگر می‌باشد هم‌چنین در کمتر از بس‌آمد مذکور صفحه دوم که دارای ترکیبی از لایه مرزی آرام و گذرا می‌باشد، چگالی طیف توان بیشتری نسبت به صفحه اول که دارای لایه مرزی آشفته در لبه فرارش می‌باشد، دارد. صدای ساطع شده توسط هر سه صفحه در بس‌آمد‌های بالاتر از ۱۵۰۰ هرتز تقریباً دارای مقادیر یکسانی می‌باشد. از دیگر نتایج به دست آمده توسط مورو و همکارانش از تحقیق مذکور، این است که صدای تولیدشده در لبه فرار



شکل ۱۳ فشار صدای گرفته شده در صفحه دوم توسط میکروفون‌ای.

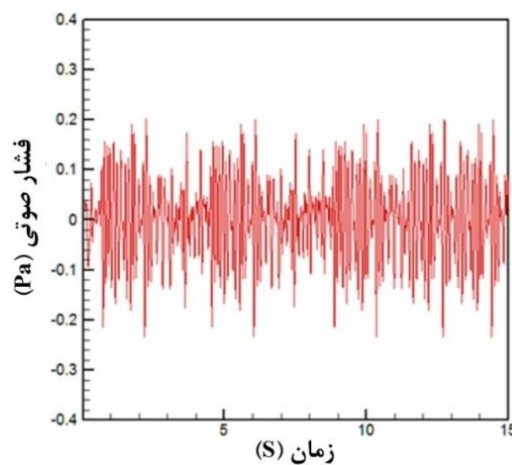


شکل ۱۴ فشار صدای گرفته شده در صفحه سوم توسط میکروفون‌ای.

جهت همبستگی زمانی فشار صدا، از  $100$  علامت لحظه‌ای داده‌های روی کرد شبیه‌سازی گردابه‌های بزرگ در محدوده  $1 \leq \tau \leq 20$  استفاده شده است. برای شبیه‌سازی اثرات توزیع فاز مکانی، هر کدام از صفحه‌های تخت به  $100$  برش در محدوده  $1 \leq \eta \leq 20$  تقسیم می‌شوند. همان‌طور که ملاحظه می‌شود فشار صدای هر سه صفحه تخت، تغییرات تقریباً همسان و قابل توجهی در بعد زمان دارد. فشار صدای میدان جریان گرفته شده توسط میکروفون‌ای در حوزه زمان، برای هر سه صفحه تخت در شکل ۱۵ نشان داده شده‌اند.

نسبت به لبه حمله کاملاً غالب می‌باشد [۱۵]. میزان چگالی طیف توان صدا در صفحه اول، دوم و سوم در بازه بسامد  $200$  تا  $4000$  هرتز در سرعت جریان آزاد  $30$  متر بر ثانیه (عدد رینولدز برابر با  $4 \times 10^5$  و عدد ماخ برابر با  $57$ )، به ترتیب بین  $26$  تا  $27$ ،  $28$  تا  $32$  و  $28$  تا  $88$  دسی‌بل متغیر است. همان‌طور که انتظار می‌رفت چگالی طیف توان در لبه فرار صفحه سوم به دلایلی از قبیل: شیب بیشتر، تولید گردابه‌های قوی‌تر در این ناحیه، وجود جریان آشفته در سطح بالایی و جریان آرام در سطح زیرین نسبت به دو صفحه دیگر، بیشتر است. در هر سه صفحه با افزایش بسامد از  $1000$  تا  $4000$  هرتز، روند نزولی چگالی طیف توان قابل مشاهده می‌باشد. به منظور اداره کردن بهتر داده‌های عددی توسط نرم‌افزار، بیشتر نتایج عددی نمونه‌برداری شده، در بسامد  $32/768$  کیلوهertz تنظیم شده‌اند. تحلیل طیفی داده‌ها با استفاده ازتابع همینگ<sup>۱</sup> در پنجره تابع انتقال فوریه<sup>۲</sup> پردازش شده است.

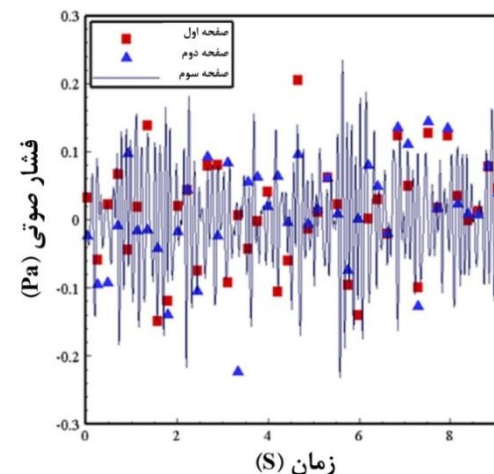
فشار صدای میدان جریان گرفته شده توسط میکروفون‌ای در حوزه زمان، برای هر سه صفحه تخت به صورت جداگانه در شکل‌های ۱۲، ۱۳ و ۱۴ نشان داده شده‌اند. فشار صدای میدان جریان، اثرات استفاده از دو توزیع فاز زمانی و مکانی را نشان می‌دهد [۱۷].



شکل ۱۲ فشار صدای گرفته شده در صفحه اول توسط میکروفون‌ای.

<sup>1</sup> Hamming Function  
<sup>2</sup> FFT; Fast Fourier Transform

- [2] C.A. Wagner, T. Huttel, P. Saguat, "Large Eddy Simulation for Acoustic," Cambridge Aerospace Series, 2007.
- [3] D. Moreau, L. Brooks, C.J. Doolan, "On the aeroacoustic tonal noise generation mechanism of a sharp-edged plate," Journal of Aeroacoustic Society of America, vol. 129, no. 4, pp.154-160, 2011.
- [4] M. Roger, S. Moreau, "Broadband self-noise from loaded fan blades," American Institute of Aeronautics and Astronautics AIAA Journal. vol. 42, no. 3, pp.536-544, 2004.
- [5] M. Wang, S. Moreau, G. Iaccarino, M. Roger, "LES prediction of wall-pressure fluctuations and noise of a low-speed airfoil," Internatoinal Journal of Aeroacoustic, vol. 8, no. 3, pp.177-198, 2009.
- [6] A. Eltawel, M. Wang, "Numerical simulation of broadband noise from airfoil wake interaction," 17th AIAA/CEAS Aeroacoustics Conference (32th AIAA Aeroacoustics Conference), Aeroacoustics Conferences, Portland, Oregon, 2011.
- [7] D.J. Moreau, C.J. Doolan, "Tonal noise production from a wall-mounted finite airfoil," Journal of Sound and Vibration, vol. 363, pp. 199-244, 2016
- [8] P. Croaker, N. Kessissoglou, M. Karimi, C.J. Doolan, L. Chen, "Self noise prediction of flat plate using a hybrid RANS-BEM technique," Inter-noise 2014, 2014.
- [9] M. Ramezanizadeh, "Comprative Study of Large Eddy Simulation of Film Cooling Using Different Kind of Subgrid Scales" PhD Thesis, Dissertation submitted to the Department of Sharif University of Technology Mechanical Engineering Faculty, 2006, (In Persian).
- [10] M. Taiebi-Rahni, M. Ramezanizadeh, M.R. Keimasi, "Three-dimensional turbulent Incompressible film cooling simulation using les and rans approaches" Aerospace Mechanics Journal, vol. 1, no. 3, pp. 11-20, 2006, (In Persian).
- [11] R. Farhadiazar, M. Ramezanizadeh, M. Taeibi-Rahni, M. Salimi, "Compound triple jets film cooling improvements via velocity and density ratios: Large eddy simulation," Journal of Fluids Engineering, vol. 133, no. 3, 2011.
- [12] M. Taeibi-Rahani, M. Ramezanizadeh, D. Ganji, A. Darvan, S. Soleimani, E. Ghasemi, H. Bararnia, "Comprative study of large eddy simulation of film cooling using a dynamic global-coefficient subgrid scale eddy-viscosity model with rans and smagorinsky modeling," International



شکل ۱۵ فشار صدای گرفته شده در صفحات تخت توسط میکروفون  
ای.

## ۶. نتیجه‌گیری

در این مقاله، شبیه‌سازی عددی هواصوتیات با استفاده از نرم‌افزار فلوئنت نسخه ۱۵ با نتایج تجربی موجود مقایسه شده‌اند. صدای تولیدشده توسط لب فرار سه صفحه تخت با لب حمله و فرار متفاوت با نتایج تجربی مقایسه شد، و هم‌چنین سرعت متوسط و اغتشاشی در فاصله ۰/۷ میلی‌متری پشت لب فرار هر سه صفحه مورد بررسی قرار گرفت که تطابق خوبی را با نتایج تجربی نشان داد. ضمناً، صدای ریتمیک در عدد رینولدز پایین در لب فرار هر سه صفحه تخت که دارای ترکیبی از جریان آرام و آشفته در لب فرار می‌باشند، تولید شد. طیف سرعت محاسبه شده در ناحیه دنباله صفحه دوم و سوم نشان داد که نوکه پهن‌باند توسط نوسانات اتفاقی کوچک در نزدیکی لب فرار ایجاد می‌شود. هم‌چنین، نوکه پهن‌باند با توان بالا در لب فرار که در رژیم جریان گذرا تولید می‌شود، احتمالاً به خاطر حضور گردابه‌ها و یا نوسانات جریان در لایه مرزی گذرا می‌باشد.

## ۷. فهرست منابع

- [1] F.V. Hutcheson, T.F. Brooks, "Noise Radiation from single and multiple rod configurations," 12th AIAA/CEAS Aeroacoustics Conference (27th AIAA Aeroacoustics Conference), Aeroacoustics Conferences, 2006.

- plate at low-to-moderate reynolds number,” Journal of Sound and Vibration, vol. 331, pp. 3976-3988, 2012.
- [16] M. Ramezanizadeh, A. Mohammadi, “Numerical investigation of delta wing leading edge effect on the flow using large eddy simulation approach,” Aerospace Mechanics Journal, vol. 3, no. 3, pp. 49-60, 2016, (In Persian).
- [17] A. Mohammadi, M. Ramezanizadeh, “Numerical investigation of aeroacoustic behavior of flow over tandem cylinders applying large eddy simulation approach,” Journal of Acoustical Engineering Society of Iran, vol. 2, no. 2, 2015, (In Persian).
- [13] J.E. Ffowcs Williams, D.L. Hawking, “Sound generation by turbulence and surface in arbitrary motion,” Philosophical Transaction of The Royal Society of London, Series A, Mathematical and Physical Sciences, vol. 264, no. 1151, pp. 321-342, 1969.
- [14] R. William, Wolf , K.L. Sanjiva, “Trailing edge noise prediction using compressible les and acoustic analogy,” American Institute of Aeronautics and Astronautics AIAA Journal, 2011-2784, 2011.
- [15] D.J. Moreau, L.A. Brooks, C.J. Doolan, “The effect of boundary layer noise on trailing edge noise from sharp-edged flat